

ДИНАМИЧЕСКОЕ РАВНОВЕСИЕ УГЛЕВОДОРОДНЫХ ВКЛЮЧЕНИЙ С ДВУМЕРНЫМ ПОТОКОМ ГРУНТОВЫХ ВОД

Н. К. КОРСАКОВА, В. И. ПЕНЬКОВСКИЙ

Институт гидродинамики им. М. А. Лаврентьева СО РАН, Новосибирск, Россия
e-mail: kors@hydro.nsc.ru

Методом конечных элементов с использованием итерационного процесса решается задача потенциального двумерного движения грунтовых вод в пласте, содержащем изолированные замкнутые неподвижные включения несмешивающейся с водой жидкости. Водопроницаемость включения неоднородна, зависит от распределения в нем насыщенности несмешивающейся фазой и является одной из искомым функций. Подобного рода задачи встречаются в практике нефтедобычи и при исследовании явлений загрязнения водоносных горизонтов нефтепродуктами.

Введение

Первые теоретические и экспериментальные исследования явлений внутреннего капиллярного запирания при фильтрации несмешивающихся жидкостей были опубликованы в работе [1]. Было обнаружено, что в фильтрационном потоке одной из жидкостей, например, смачивающей скелет пористой среды, при определенных условиях могут находиться включения другой, несмачивающей жидкости. Примерами таких включений могут служить загрязнения водоносных горизонтов углеводородными пятнами, возникающими в результате утечки из нефтепроводов и бензохранилищ, целики нефти при разработке месторождений методом внутриконтурного заводнения, захоронения в глубокие водоносные пласты земли иных несмешивающихся с водой жидкостей.

Динамическое равновесие включения с потоком достигается в результате соответствующего силам сопротивления распределения в нем насыщенности порового пространства несмачивающей фазой, благодаря которому давление в этой фазе сохраняется постоянным в каждой точке с одновременным выполнением условия скачка давлений на границе фаз. Фильтрационный поток частично обтекает капиллярно-запертое включение, водопроницаемость которого гораздо ниже водопроницаемости окружающей пористой среды, и частично протекает сквозь него.

В работе [4] дано представление точного аналитического решения задачи о динамическом равновесии включения круговой формы с двумерным потоком грунтовых вод. Получено условие, при выполнении которого достигается состояние критического равновесия. Нарушение этого условия, например, путем увеличения скорости набегающего потока, приводит, как это показывают и экспериментальные данные, к разрушению включения. Расчеты распределения насыщенности в таком включении и исследование факторов, влияющих на это распределение, представлено в статье [5]. Аналитическое решение задачи для включений иных форм, отличных от круговой, получить не удается. В данной работе предлагается численное решение, основанное на применении метода конечных элементов с использованием итерационного процесса, который можно интерпретировать как процесс построения последовательных приближений.

1. Постановка задачи

Рассмотрим установившееся плоское движение грунтовых вод в пласте, границы которого являются либо контуром питания (кривые γ_1, γ_3), либо непроницаемым участком (кривые γ_2, γ_4 на рис. 1). Пусть замкнутый контур γ обозначает границу области D^+ , содержащейся внутри пласта, в которой наряду с движущимися частицами воды имеются частицы углеводородной жидкости (нефти). Обозначим функцией $s(x, y) \geq 0$ — насыщенность порового пространства нефтяной фазой, так что функция $s_1 = 1 - s(x, y) \geq 0$ представит насыщенность пор водой. Вне D^+ , в области D^- , частиц нефти нет, $s \equiv 0$, и движение воды подчиняется обычному закону Дарси

$$v_1^- = -K_1 \nabla h_1^- \quad (1)$$

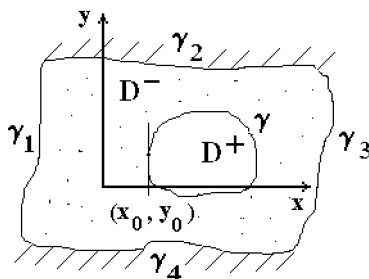


Рис. 1.

Здесь v_1^- — вектор скорости фильтрации воды, K_1 — коэффициент фильтрации, $h_1^-(x, y)$ — давление (в м. столба воды) в области D^- , (x, y) — декартовы координаты, $\nabla \equiv (\partial/\partial x, \partial/\partial y)$ — векторный оператор градиента. Из закона сохранения массы воды

$$\operatorname{div} v_1^- = 0$$

следует, что в области D^- функция h_1^- должна удовлетворять уравнению Лапласа

$$\Delta h_1^- = 0, \quad (2)$$

где $\Delta \equiv \partial^2/\partial x^2 + \partial^2/\partial y^2$ — оператор Лапласа.

В области D^+ пятна систему уравнений двухфазной установившейся фильтрации Раппопорта–Лиса составляют:

уравнения движения (обобщенные законы Дарси)

$$v_1^+ = -K_1 f_1(s) \nabla h_1^+, \quad v^+ = -K f(s) \nabla h^+, \quad (3)$$

законы сохранения масс

$$\operatorname{div} v_1^+ = \operatorname{div} v^+ = 0 \quad (4)$$

и уравнение капиллярного скачка давлений на границе фаз

$$h^+ - h_1^+ = h_k^0 \phi(s). \quad (5)$$

В этих уравнениях обозначено h^+ , h_1^+ — давления, v^+ , v_1^+ — скорости, K , K_1 — коэффициенты фильтрации, $f(s)$, $f_1(s)$ — заданные относительные фазовые проницаемости для нефти и воды соответственно, h_k^0 — характерная высота капиллярного поднятия, функция $\phi(s)$, — аналог j-функции Леверетта [2], — предполагается заданной. Будем также считать, что значение неотрицательных функций $s(x, y)$, $f(s)$, $f_1(s)$, $\phi(s)$ принадлежат промежутку $[1, 0]$, причем $f(0) = f_1(1) = \phi(0) = 0$, $f(1) = f_1(0) = \phi(1) = 1$ и $d\phi/ds > 0$, $df_1/ds < 0$.

В режиме капиллярного запираания нефть неподвижна $v^+ \equiv 0$, поэтому $h^+ \equiv h_0 = \text{const}$ и система уравнений (3)–(4) сводится к двум уравнениям

$$\operatorname{div}[f_1(s^{-1}(\phi)) \nabla h_1^+] = 0, \quad (6)$$

$$\phi = (h_0 - h_1^+)/h_k^0, \quad (7)$$

в которой $s^{-1}(\phi)$ — обозначает монотонно возрастающую функцию, обратную к функции $\phi(s)$, а параметр h_0 должен быть задан.

Положим

$$H(x, y) = \begin{cases} h_1^-, & \text{если } (x, y) \in D^- \\ h_1^+, & \text{если } (x, y) \in D^+ \end{cases}$$

и обозначим $F_1(\phi) = f_1(s^{-1}(\phi)) \geq 0$ — заданную, монотонно убывающую с ростом ϕ функцию, определяющую водопроницаемость пятна, если известна зависимость $\phi(x, y)$. При переходе через кривую γ , отделяющую области D^+ и D^- , должны оставаться непрерывными давления и нормальные проекции потоков воды.

Таким образом, математическая формулировка исходной физической задачи сводится к следующему.

Найти функции $H(x, y)$, $s(x, y)$, удовлетворяющие уравнениям

$$\Delta H(x, y) = 0, \quad (x, y) \in D^- \quad (8)$$

$$\operatorname{div}(F_1(\phi) \nabla H(x, y)) = 0, \quad \phi = (h_0 - H)/h_k^0, \quad (x, y) \in D^+ \quad (9)$$

условиям на внешних границах

$$\begin{aligned} H &= H_1(x, y), \quad (x, y) \in \gamma_1 \\ H &= H_3(x, y), \quad (x, y) \in \gamma_3 \\ \frac{\partial H}{\partial n} &= 0, \quad (x, y) \in \gamma_2, \gamma_4 \end{aligned} \quad (10)$$

и условиям сопряжения

$$H^+ = H^-, \quad \frac{\partial H}{\partial n} = K(\phi) \frac{\partial H^+}{\partial n}; \quad (x, y) \in \gamma. \quad (11)$$

Задача (8)–(11) содержит пока неопределенный параметр h_0 — давление в нефтяной фазе, содержащейся в пятне. Как показывают эксперименты, минимальная насыщенность $s_0 > 0$ в пятне достигается в некоторой передней по отношению к набегающему потоку точке (x_0, y_0) кривой γ . Пусть $\phi_0 = \phi(s_0)$ — соответствующее этой насыщенности значение j -функции Леверетта. Тогда, учитывая второе уравнение в (9), получим

$$h_0 = \phi h_k^0 + H(x_0, y_0),$$

а само уравнение (9) перепишем в виде

$$\phi = \phi_0 + [H(x_0, y_0) - H(x, y)]/h_k^0. \quad (12)$$

Из этого уравнения следует, что решение задачи (8)–(11) существует не для произвольно заданных краевых условий (10) и размеров пятна, поскольку в области D^+ должны выполняться ограничение $\phi \leq 1$, вытекающее из физического смысла рассматриваемого процесса фильтрации.

2. Численный алгоритм и результаты расчетов

Вместо уравнений (8)–(9) рассмотрим задачу

$$\mu \frac{\partial H}{\partial t} = \operatorname{div}(K(s) \nabla H(x, y)), \quad (13)$$

решение которой методом установления сходится к стационарному и соответствует решению задачи (8)–(11).

Двумерная задача фильтрации (13) с переменным коэффициентом гидравлической проводимости решалась локально-балансовым методом конечных элементов, описанном ранее в работе [3]. Метод заключается в следующем.

Области решения задачи D^+ и D^- разбиваются на треугольные элементы. Внутри каждого элемента вводятся средние точки и вокруг каждого узла формируется область d_i , в которой вычисляется массовый баланс (рис. 2). Решение в произвольном элементе e представляется в виде

$$\hat{H}(x, y, t) = \sum_e N_i(x, y) H_i(t), \quad (14)$$

где N_i — линейные двумерные базисные функции.

Локально-массовый баланс для уравнения (13) имеет вид

$$\iint_{d_i} \frac{\partial H}{\partial t} d\Omega = \iint_{d_i} \operatorname{div}(K(s) \nabla H(x, y)) d\Omega. \quad (15)$$

Подставляя представление (14) и интегрируя (15) по всей области, получим систему дифференциальных уравнений, которая после конечно-разностной аппроксимации производной по t приводит к системе линейных алгебраических уравнений

$$[A]\{\hat{H}\} = \{R\}. \quad (16)$$

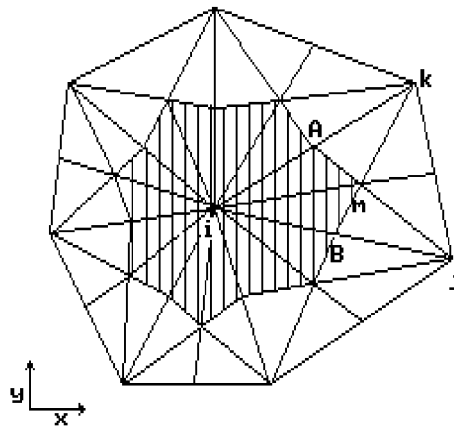


Рис. 2.

Для решения системы (16) использовался итерационный метод Гаусса—Зейделя, который является наиболее эффективным в задачах подобного типа. Гидравлическая проводимость задавалась для каждого элемента в виде

$$K_e(s) = \begin{cases} (K_i + K_j + K_k)/3 & \text{при } (x, y) \in D^+ \text{ (} i, j, k \text{ — вершины элемента),} \\ 1 & \text{при } (x, y) \in D^- \end{cases} \quad (17)$$

Для численных расчетов была выбрана прямоугольная область размером 10×5 м. В качестве области D^+ был задан участок размером 2×2 м. Слева был задан постоянный напор $H = H_0 = 10$ м, справа $H = H_1 = 0$, остальные границы были непроницаемы. Связь между насыщенностью s и водопроницаемостью K в области D^+ была представлена в виде $K(s) = K(1 - s)^{3,5}$.

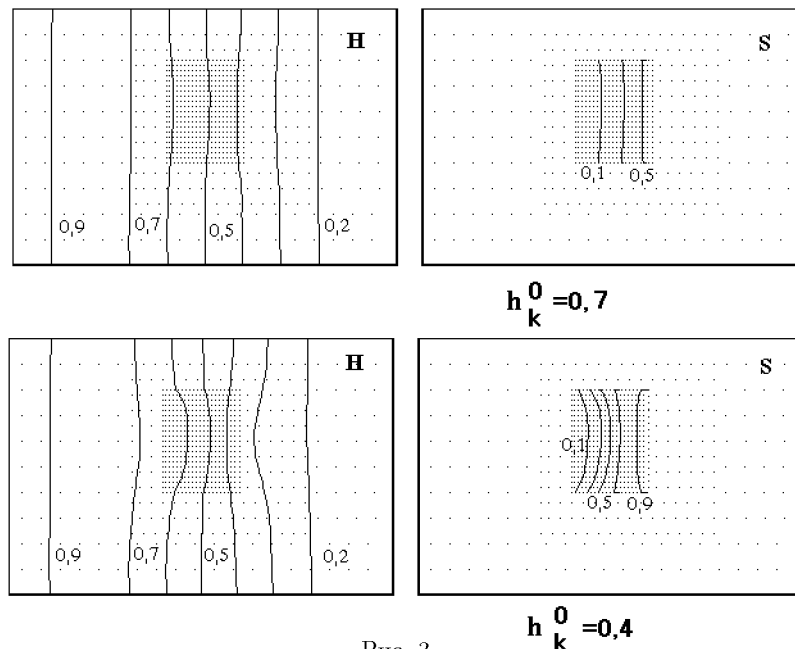


Рис. 3.

Численный алгоритм решения совместной задачи основан на применении итерационного процесса, являющегося по существу методом последовательных приближений. Начальное приближение насыщенности бралось в виде $s^{(0)} = 0$, а проницаемости $K(\phi^{(0)}) = 1$. На каждом шаге n стационарное решение уравнения (13) $H^{(n)}(x, y)$ с учетом (12) использовалось для вычисления функции

$$\phi^{(n)} = (H^{(n)}(x_0, y_0) - H^{(n)}(x, y))/h_k^0.$$

Распределение насыщенности в области D^+ вычислялось в виде

$$s^{(n)} = (1, 1(\phi^{(n)})^2)/(0, 1 + (\phi^{(n)})^2),$$

что соответствует j-функции Леверетта в виде экспериментально определяемой аппроксимации [1]: $\phi(s) = [0, 1s/(1, 1 - s)]^{0,5}$. Результат сравнивался с распределением, полученным на предыдущем шаге. Далее по распределению $s^{(n)}$ получали новые значения проницаемости $K^{(n+1)}$, и искалось стационарное решение задачи (13) на следующем шаге. Расчеты прекращались, если при некотором $n = N$ условие $|s^{N+1} - s^N| < \varepsilon$ выполнялось для всех узлов области D^+ . Здесь ε — заданная малая величина.

На рис. 3 представлены результаты расчетов в виде изолиний напора грунтовых вод $H(x, y)$ во всей области D и распределений насыщенности s в пятне D^+ при различных значениях h_k^0 . Видно, что с уменьшением h_k^0 изменяется линейный характер распределения давления, изолинии H в области D^+ сильно искривлены. При этом, если при $h_k^0 = 0,7$ насыщенность в пятне меняется от 0,1 до 0,5 в направлении потока воды, то уже при $h_k^0 = 0,4$ ее значения возрастают до 1 к выходу из области D^+ . Полученные расчеты качественно согласуются с экспериментальными данными [1].

Список литературы

- [1] АНТОНЦЕВ С. Н., ДОМАНСКИЙ А. В., ПЕНЬКОВСКИЙ В. И. Фильтрация в прискважинной зоне пласта и проблемы интенсификации притока. ИГиЛ СО АН СССР, Новосибирск, 1989.
- [2] КОЛЛИНЗ Р. Течение жидкостей через пористые материалы. М.: Мир, 1964.
- [3] КОРСАКОВА Н. К. Численное моделирование переноса консервативных и неконсервативных примесей в пористой среде. Водные ресурсы. 1996. Т. 23, №6. С. 672–678.
- [4] ПЕНЬКОВСКИЙ В. И. Углеводородные включения в водонасыщенных пористых средах. Динамика сплошной среды: Сб. науч. тр. / АН СССР. Сиб. отд-ние. Ин-т гидродинамики, 1994. Т. 108. С. 27–37.
- [5] СОЛНЦЕВА Л. В. К задаче о распределении остаточной нефти в плоско-параллельном фильтрационном потоке. Динамика сплошной среды: Сб. науч. тр. / АН СССР. Сиб. отд-ние. Ин-т гидродинамики, 1994. Т. 108. С. 63–79.